

Fig. 1

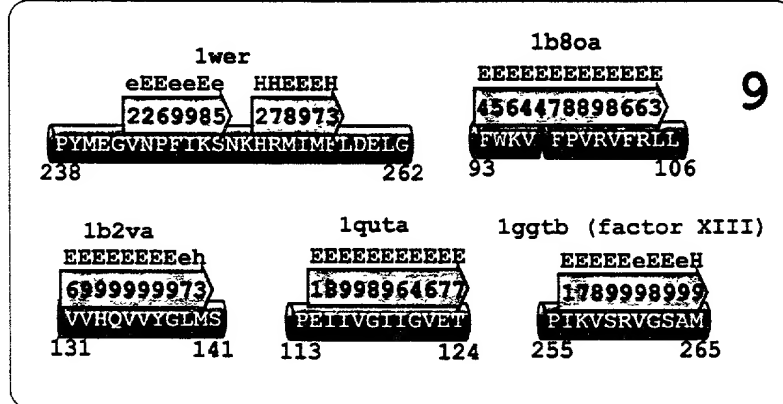
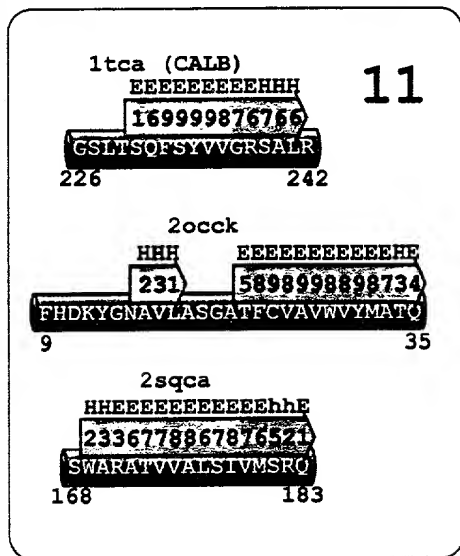
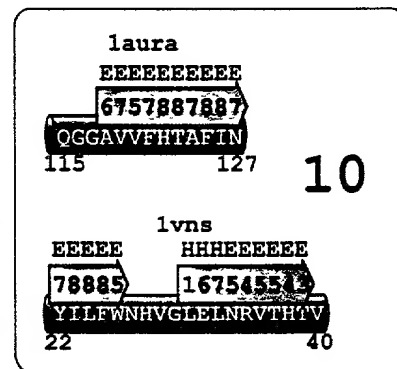
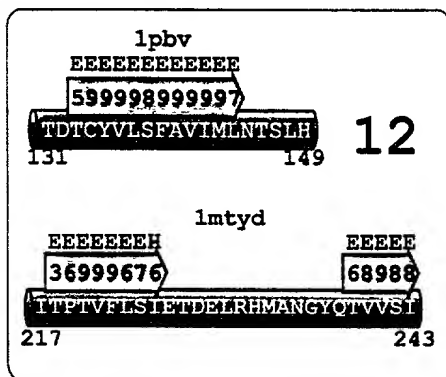
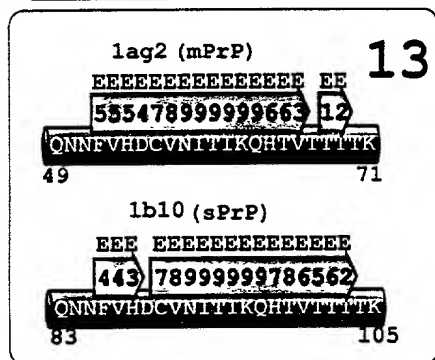
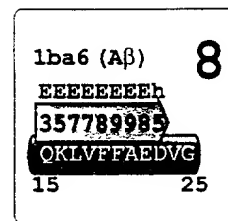
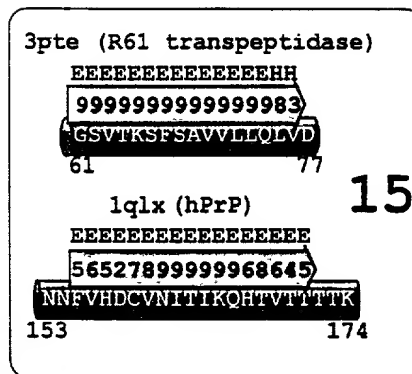
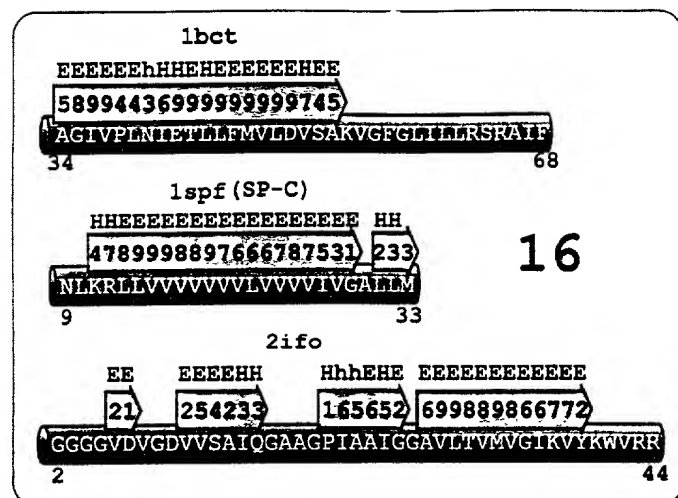


Fig. 2

[illegible]

2

	1	2	3	4	5	6	7	8	9	10	11	12	13	14	15	16	17	18	19	20	21	22	23	24	25	26	27	28	29	30	31	32	33	34	35	36	37	38	39	40	41	42	43	44	45	46	47	48	49	50	51	52	53	54	55	56	57	58	59	60	61	62	63	64	65	66	67	68	69	70	71	72	73	74	75	76	77	78	79	80	81	82	83	84	85	86	87	88	89	90	91	92	93	94	95	96	97	98	99	100
1	1	2	3	4	5	6	7	8	9	10	11	12	13	14	15	16	17	18	19	20	21	22	23	24	25	26	27	28	29	30	31	32	33	34	35	36	37	38	39	40	41	42	43	44	45	46	47	48	49	50	51	52	53	54	55	56	57	58	59	60	61	62	63	64	65	66	67	68	69	70	71	72	73	74	75	76	77	78	79	80	81	82	83	84	85	86	87	88	89	90	91	92	93	94	95	96	97	98	99	100

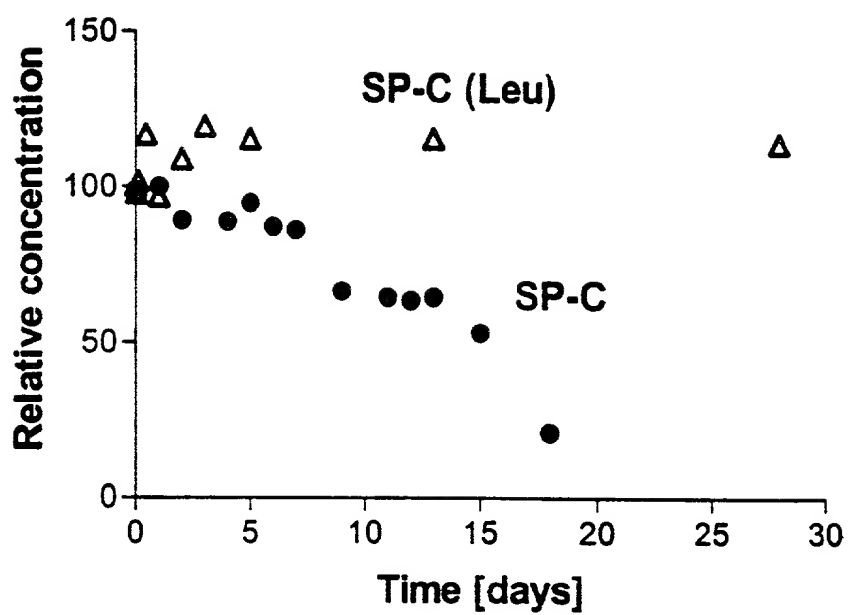


Fig. 4

Aβ(1-28)
EEEEEEEE
36689976
QKLVFFAEDVG
15 25

Aβ(1-28) (K16A, L17A, F20A)

HHHHHHH
7664224
QAAVFAEDVG
15 25

Fig. 5

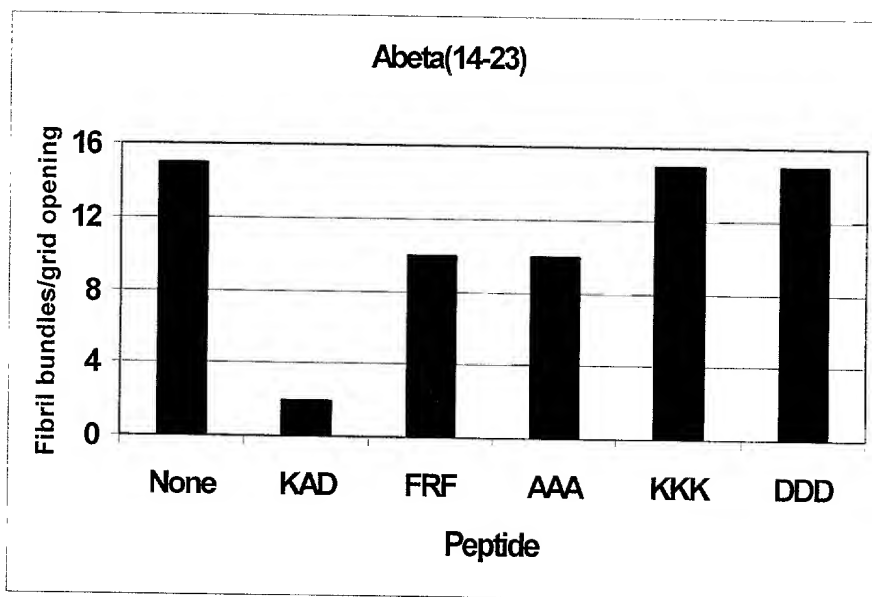


Fig. 6A

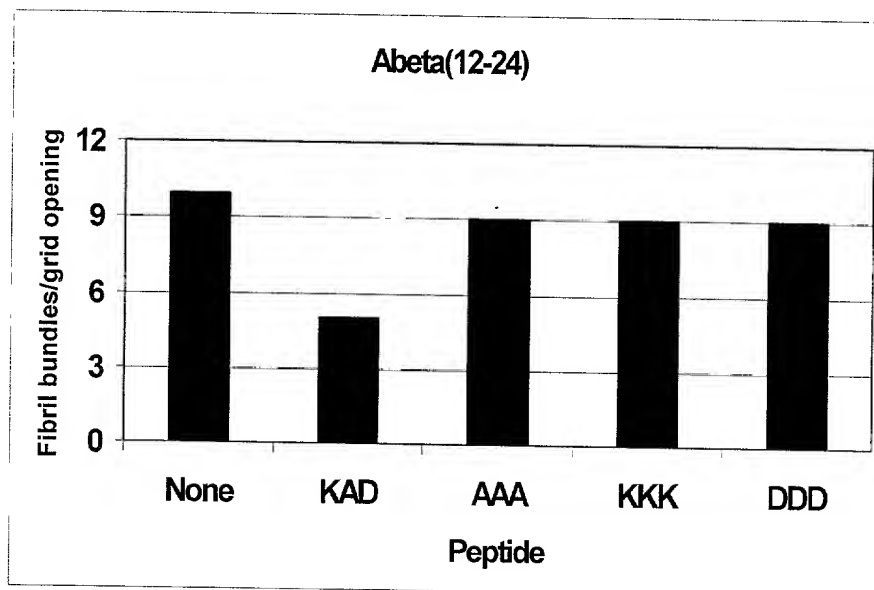


Fig. 6B

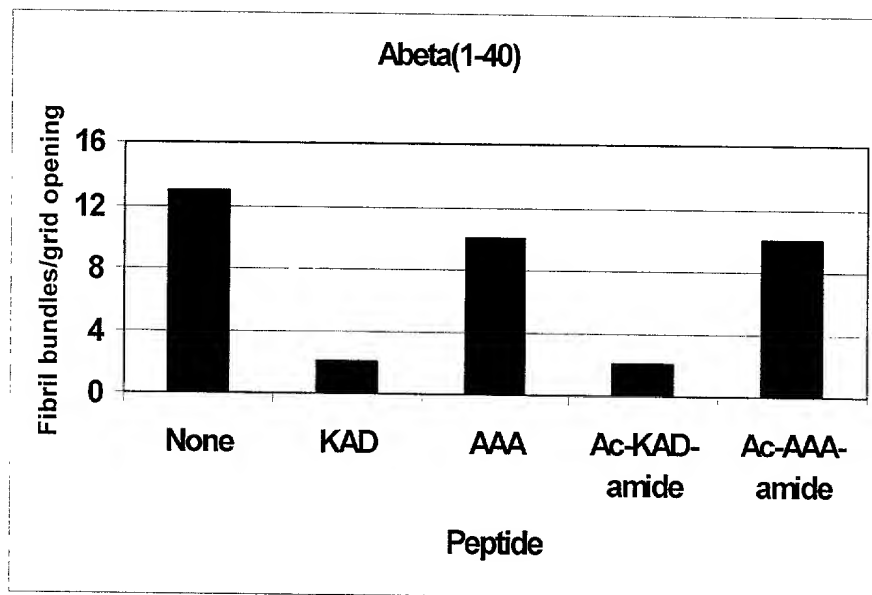


Fig. 6C

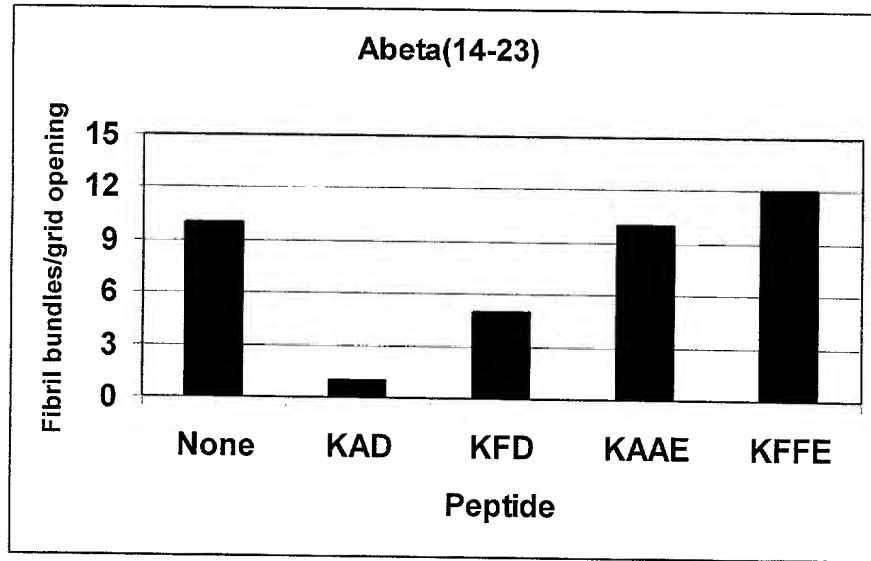


Fig. 7

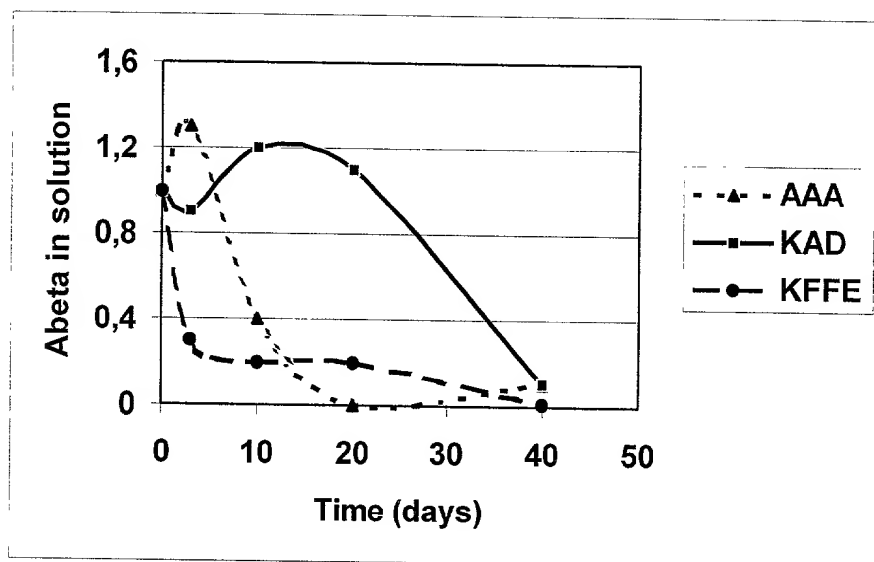
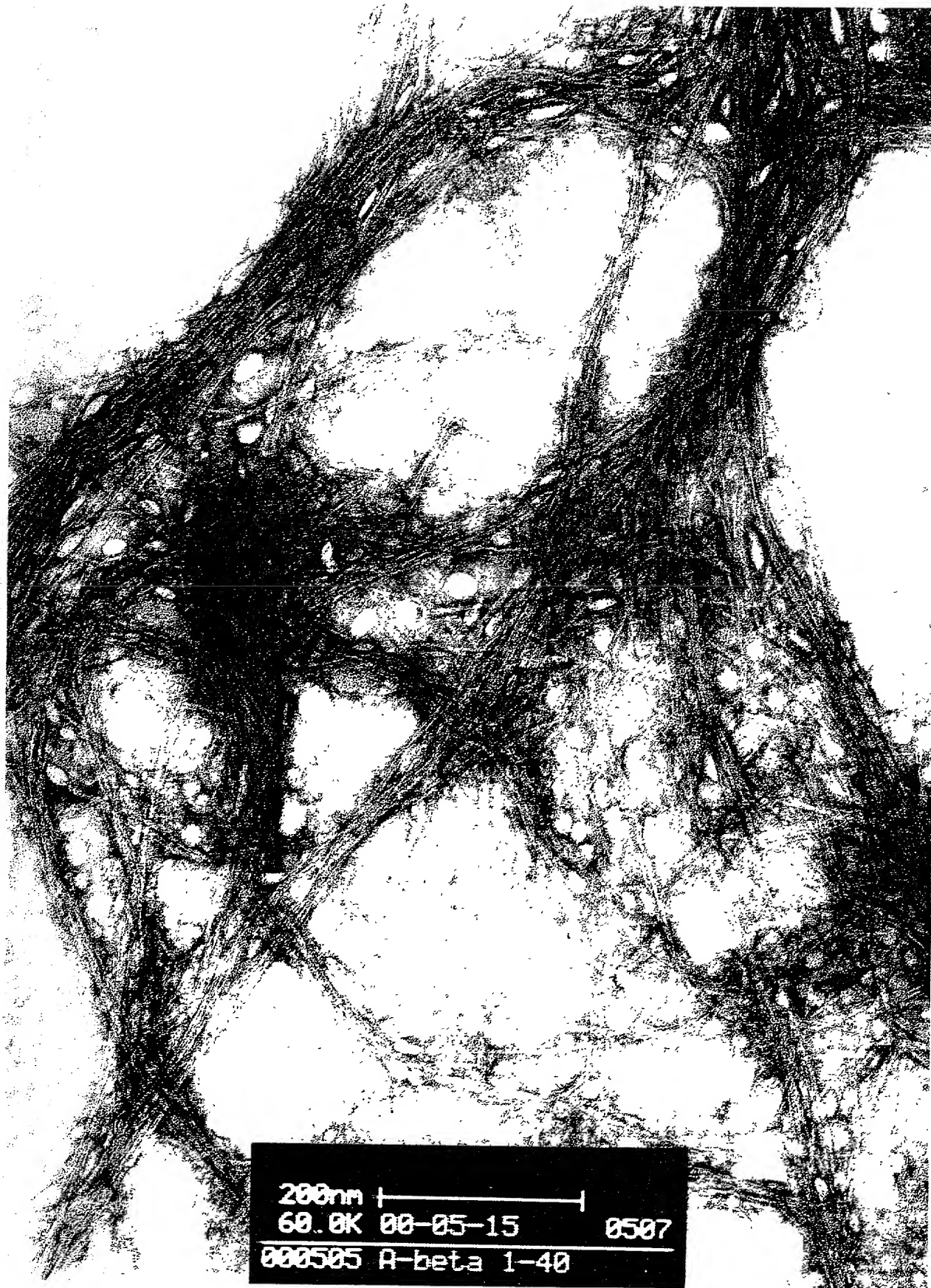


Fig. 8

0998842-11901



200nm |
60.0K 00-05-15 0507
000505 A-beta 1-40

Fig. 9A

TOPP 2488660



Fig. 9B

FOOT "248860

200nm |—————|
45.0K 00-06-02 0650
000530 Ab (1-40) +
acetyl/amid KAD

Fig. 9C

0998842-11901

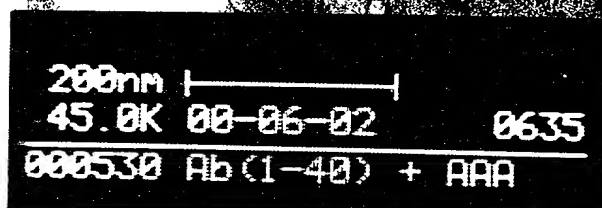
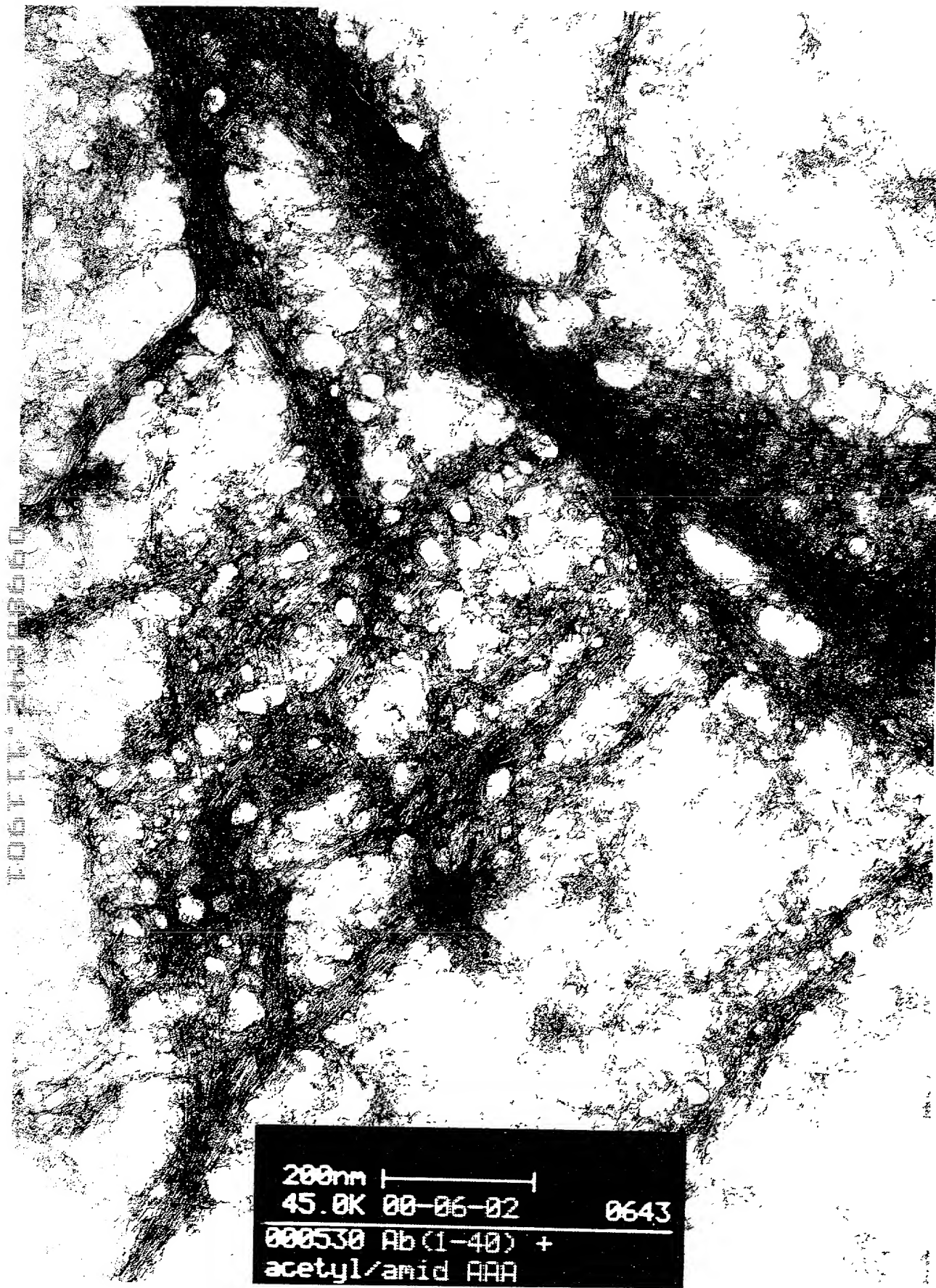


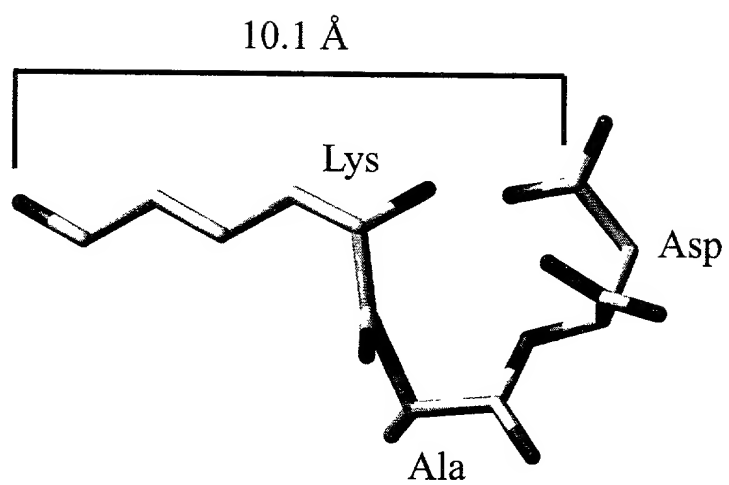
Fig. 9D



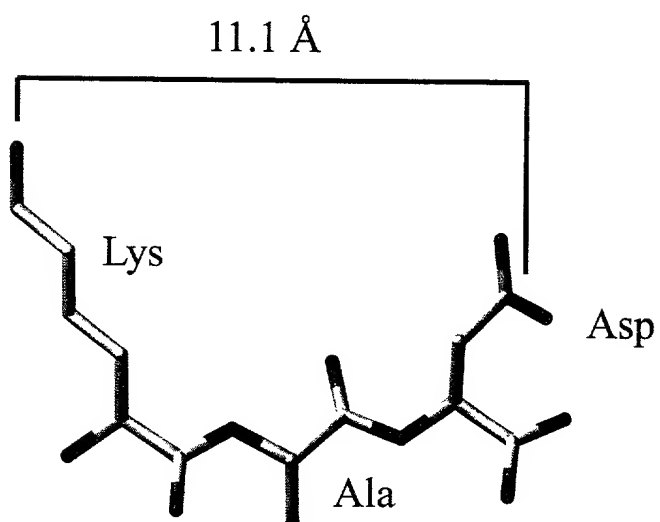
200nm |-----|
45.0K 00-06-02 0643
000530 Ab (1-40) +
acetyl/amid AAA

Fig. 9E

KAD



KAD



KFFE

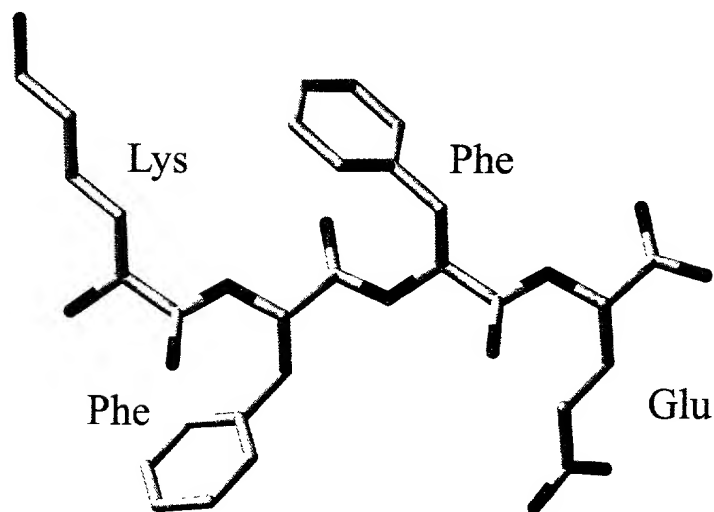


Fig. 10

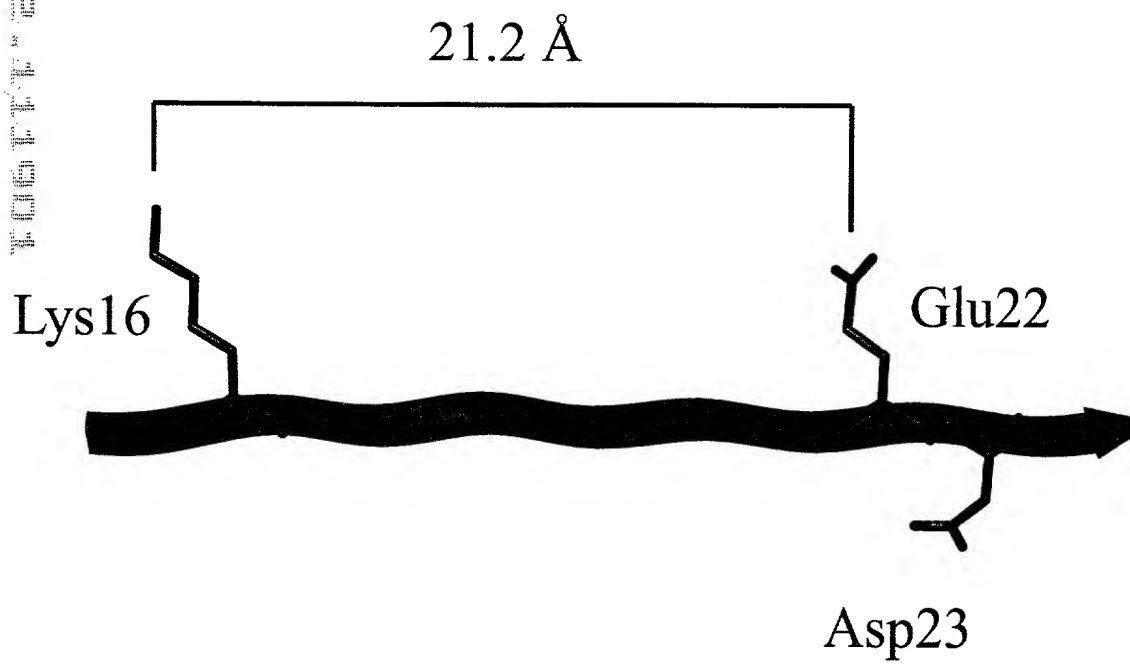
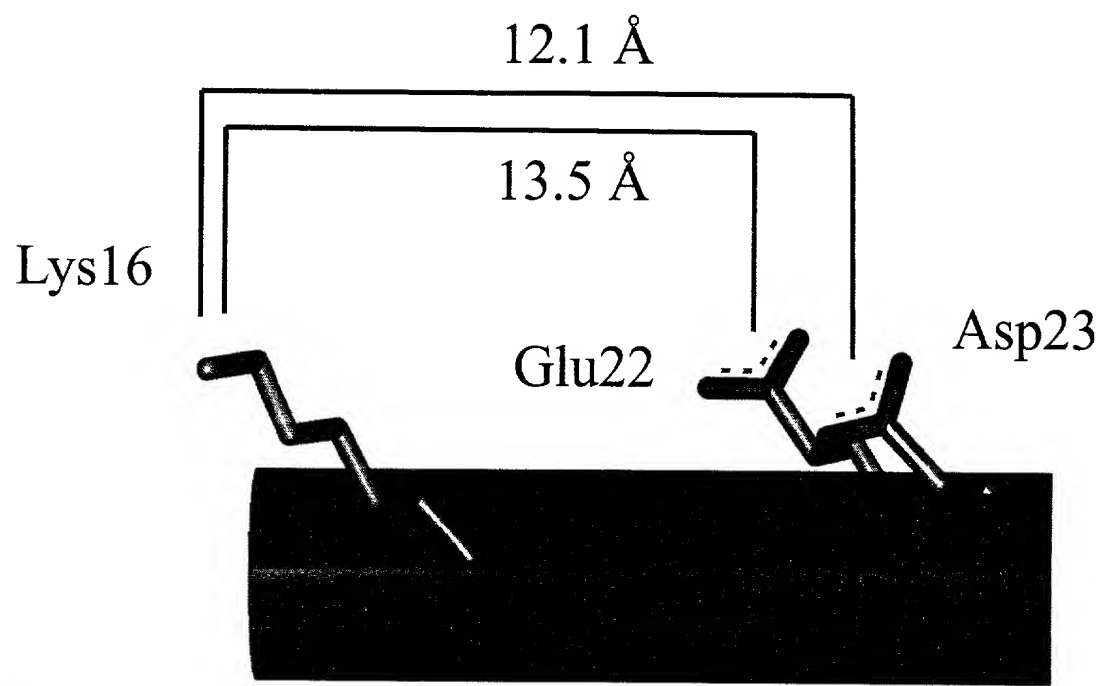


Fig. 11

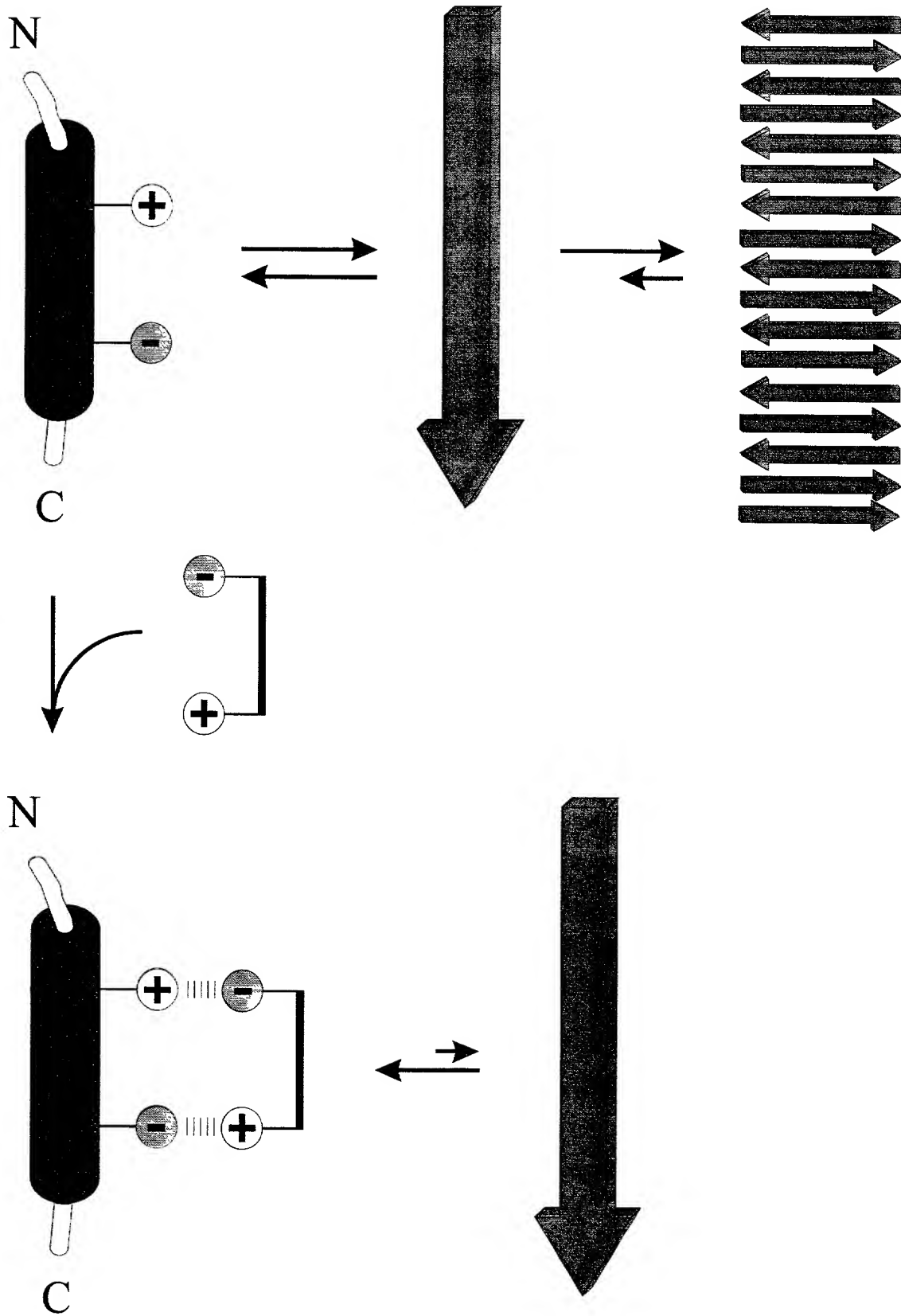


Fig. 12